

関東ロームの含有水分に関する研究

中央大学理工学部 正員

同 正員

○久野 智郎

西堀 高弘

わが国の高含水比粘性土のあるものは、その土の密度、含水比が定まつても、コンシステンシー、あくまでは縮固め特性など必ずしも一律に定まらず、試験開始における試料の乾燥処理の程度によつて、大幅に変りることは既に認められており、関東ロームの2, 3の実例に關しては別報“関東ロームの工学的性質に関する研究”に示したとおりである。

これは、これまでの含水量の定義がJIS A 1203に規定された110°Cの恒温乾燥による脱水によつて起因する不備、すなわち、これより粘性土の土粒子近傍に吸着されており、力学的挙動としては土粒子の一部として扱はれて考慮される拘束水も、その以外の自由水と同様に水分と判定されたためであるとし、試料準備における乾燥過程は、主としてその拘束水が乾燥により除去され、試験中の加水による含水量変化は、自由水の増加によるものと考えられ、上記の現象を説明することができる。(関東ロームの縮固めについては又野“土の縮固め”技術全書 p87)

こうした不確定を実証する一助として、含水量測定にあたつての試料からの脱水は遠心脱水装置(卓上用高速度遠心機 55-1、佐久間製作所製、最高回転数 16,500 rpm)を使用し、この装置によつて排水し得た水を仮に自由水と考へることによって試験結果の解析を試みる。この操作によつて除かれぬものが自由水のすべてである。保証はさへば毛管水のほかには除かれ難いと思われる。

(1) 試験開始時の含水比の低下による最大乾燥密度、最適含水比の求めの説明

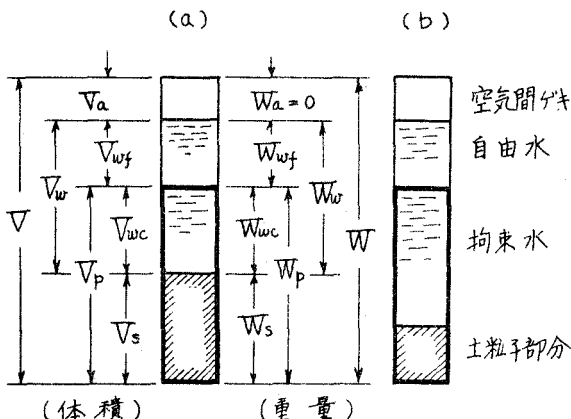


図1-1 土の各要素の模型図の表示

$$W = \frac{W_{wf}}{W_s}, \quad w_f = \frac{W_{wf}}{W_p}, \quad w_t = \frac{W_{wf}}{W_s}, \quad w_c = \frac{W_{wc}}{W_s} \quad (\%)$$

$$G_s = \frac{\gamma_s}{\gamma_w} = \frac{W_s}{V_s} \cdot \frac{1}{\gamma_w}, \quad \gamma_w: \text{水の単位体積重量} \approx 1/\text{cm}^3$$

土の模型図表示した図1-1は、ある縮固め方法による最大乾燥密度、最適含水比の状態であるとする。この状態においては自由水の占める体積率 w_{wf} ($= V_{wf}/V$) は、ついで同様のはずであり、たゞ試料準備時の乾燥度の進んだ(2)の方が、かけの粒子(太線で囲んだ部分)中の拘束水の量が少ないとすれば標記の現象を説明できる。

$$\chi_e = \frac{W}{V}, \quad w'_f = \frac{W_{wf}}{W_p} \times 100 (\%)$$

$$\chi_{df} = 100 \chi_e / (100 + w'_f) \quad (\% \text{cm}^3)$$

ここで $w'_f \sim \chi_{df}$ 図1-2、普通の縮固め試験の要領により w'_{fopt} 、 χ_{dfmax} を求めよう。一方、

$$\chi_p = \frac{W_p}{V_p} = \frac{W_p}{(100 + w'_f)} / \left(\frac{100}{G_s} + w_c \right)$$

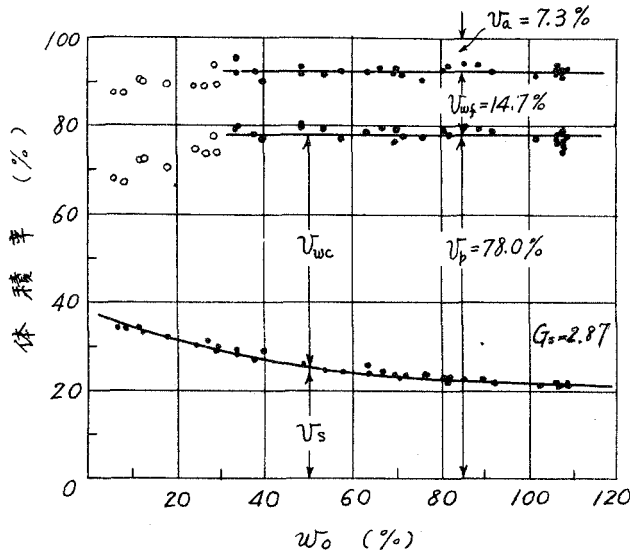


図-2 最大乾燥密度の状態における土の各要素の割合

曲線の最大乾燥密度における V_a の平均値 7.0% と比較的よく一致している。左の図-2には一般的な含水比 w_0 から求めた V_a を併記してあるが、これは w_0 の減少とともに少しずつ増大していく。 $(V_a = V_a/V)$
 w_0 を 30% 以下に乾燥させたものについては w_f ($=W_{wf}/W_0$) が w^* ($=W_0/W_s$) より大きくなることが多く、これは乾燥したロームが空気中の水分を吸収したこと意味している、この他の含水状態においては、土に拘束水の枯渇した状態にあるものと想われる。

(2) 拘束水に対する自由水の増加

自然状態の高含水比粘性土を二ねかえしてみると、含水量が不变でも次第に軟弱化していくことが知られる。この現象は自然の安定化と土粒子骨格の乱れによるものである。

骨格を形成している（ある）は一部はその中に閉じこめられていて）拘束水が二ねかえしにより自由水に転化し、土の力学的性質を支配する水分を増してしまって説明できる。（1）と同様の関東ロームについて行った実験結果を図-3に示す。拘束水に対する w_f' が明らかに増加しているのがわかる。なお試料の二ねかえしには人力回転式のひき棒機を使用した。

終りに当試験の実施にあたり土質試験の自動化委員会（建設機械化協会、委員長最上先生）の有益な助言をいたしましたことを感謝したい。

であり、さて

$$V_{wf} = \frac{V_{wf}}{V} = \frac{\gamma_{af} \cdot w_f'}{\gamma_w} (\%)$$

$$V_p = \frac{V_p}{V} = \frac{\gamma_{af} \times 100}{\gamma_w} \\ = \frac{\gamma_{af} \cdot (100/G_s + w_c)}{\gamma_w (100 + w_c)} \times 100 (\%)$$

$$V_a = \frac{V_a}{V} = 100 - V_{wf} - V_p (\%)$$

とする。

γ_t , γ_{af} , w_f' , G_s , w_c が測定されてるので中大構成の関東ローム（自然含水比約 110% ）についての V_{wf} , V_p , V_a の計算結果を示す。図-2の V_a は V_a/V の一値であり、試験開始時の含水比 w_0 が 30% 以下にならなければ、 V_p , V_{wf} はほぼ一定であり、 V_a の平均値 7.3% は手元にあつた100種の範囲

